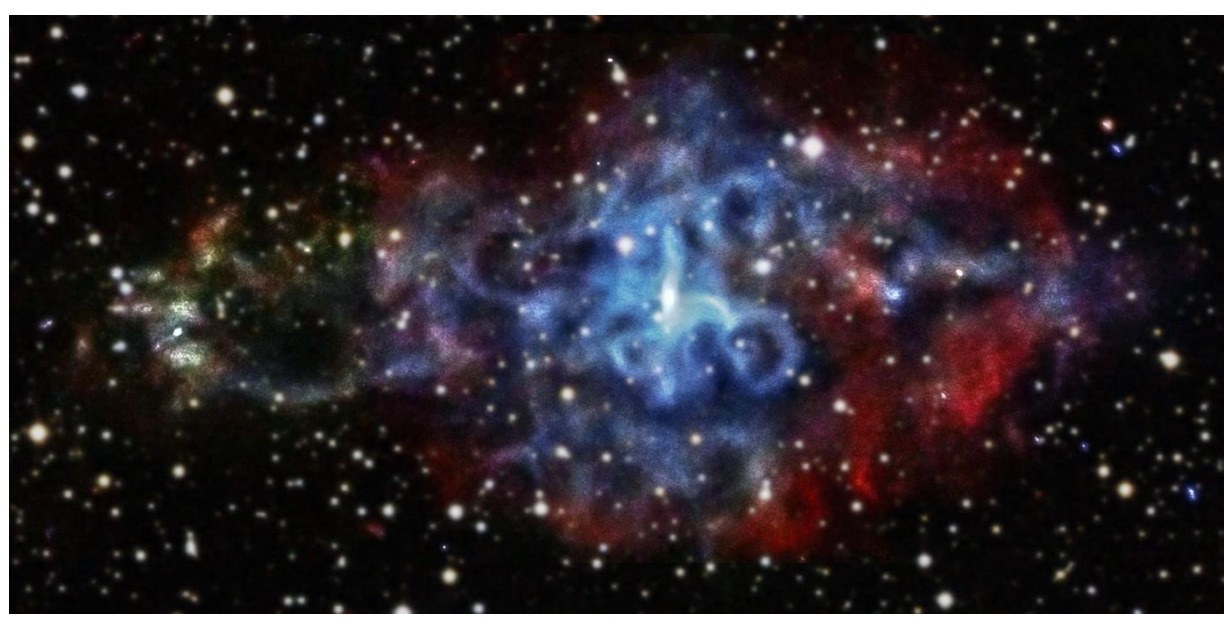
パルサー星雲における拡散過程と流体構造への反作用について





石崎涉(宇宙線研究所)

共同研究者: 浅野 勝晃、川口 恭平

W. Ishizaki, K. Asano, and K. Kawaguchi (2018) ApJ, Submitted(arXiv:1809.09054)

自己紹介

- 石崎 渉 (いしざき わたる) 宇宙線研究所 高エネルギー天体グループ D3
- 研究テーマ
 - パルサー星雲の準解析的モデリング



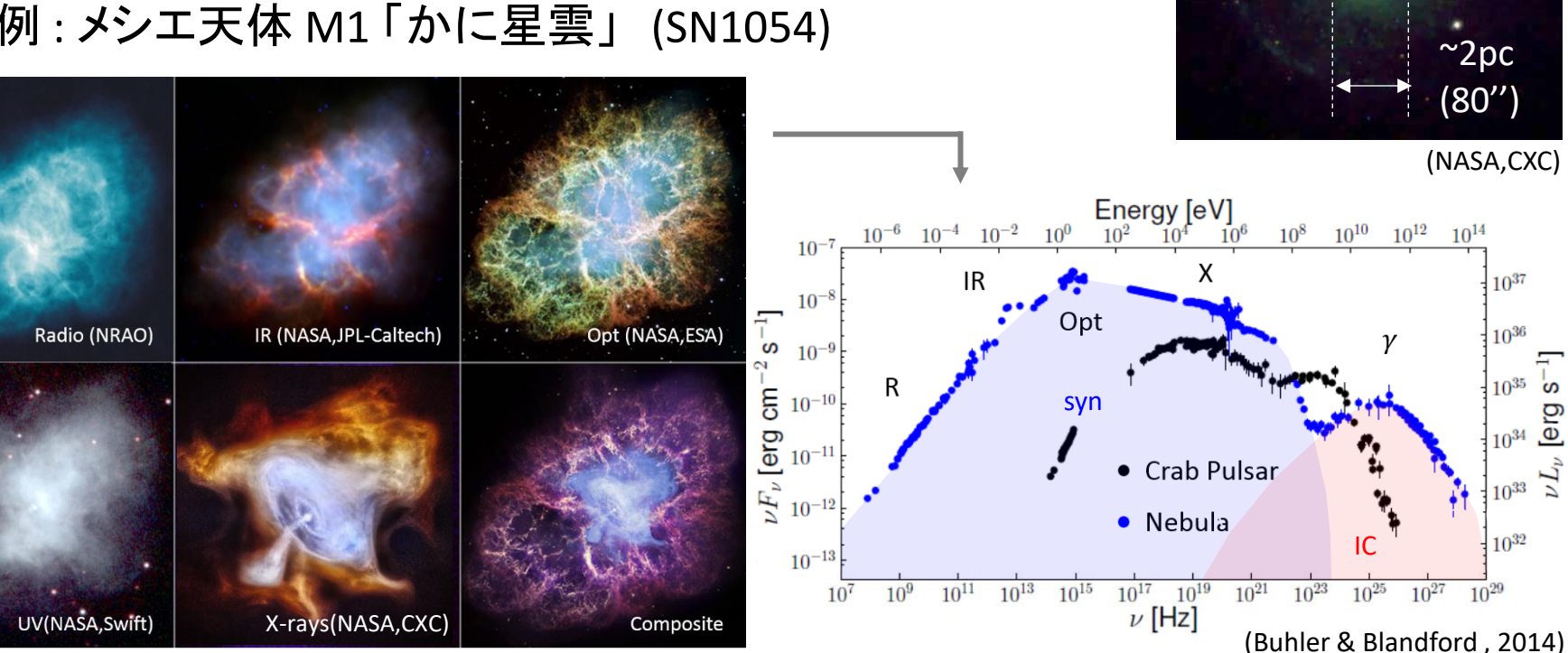
- 旅行 (特に電車で)
- ・ (軽い)登山
- 流体力学
- Otaku-like activity...
 - 変な音楽をあつめること
 - アニメを見ること
 - 音ゲーをする
 - etc...

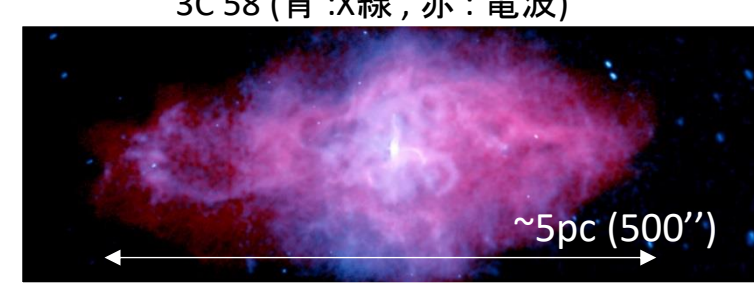


3C 58 (青:X線,赤:電波)

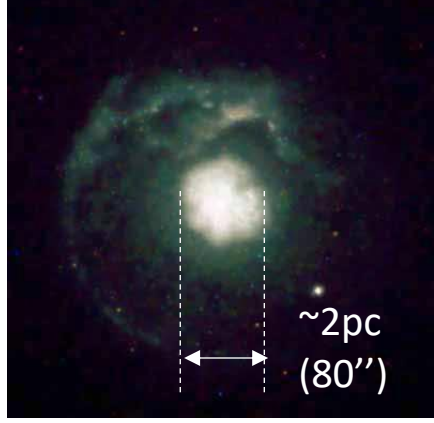
Introduction -パルサー星雲-

- 回転駆動型パルサーの周囲に広がる天体
 - 数pc程度に広がって存在
 - 中の詰まった繭状の構造
- 電波からy線まで広がる非常にbroadなspectrum
 - パルサー風がISM(or SNR)と相互作用して衝撃波を形成
 - パルサー風のe[±]が加速され非熱的放射
- 例:メシエ天体 M1「かに星雲」 (SN1054)



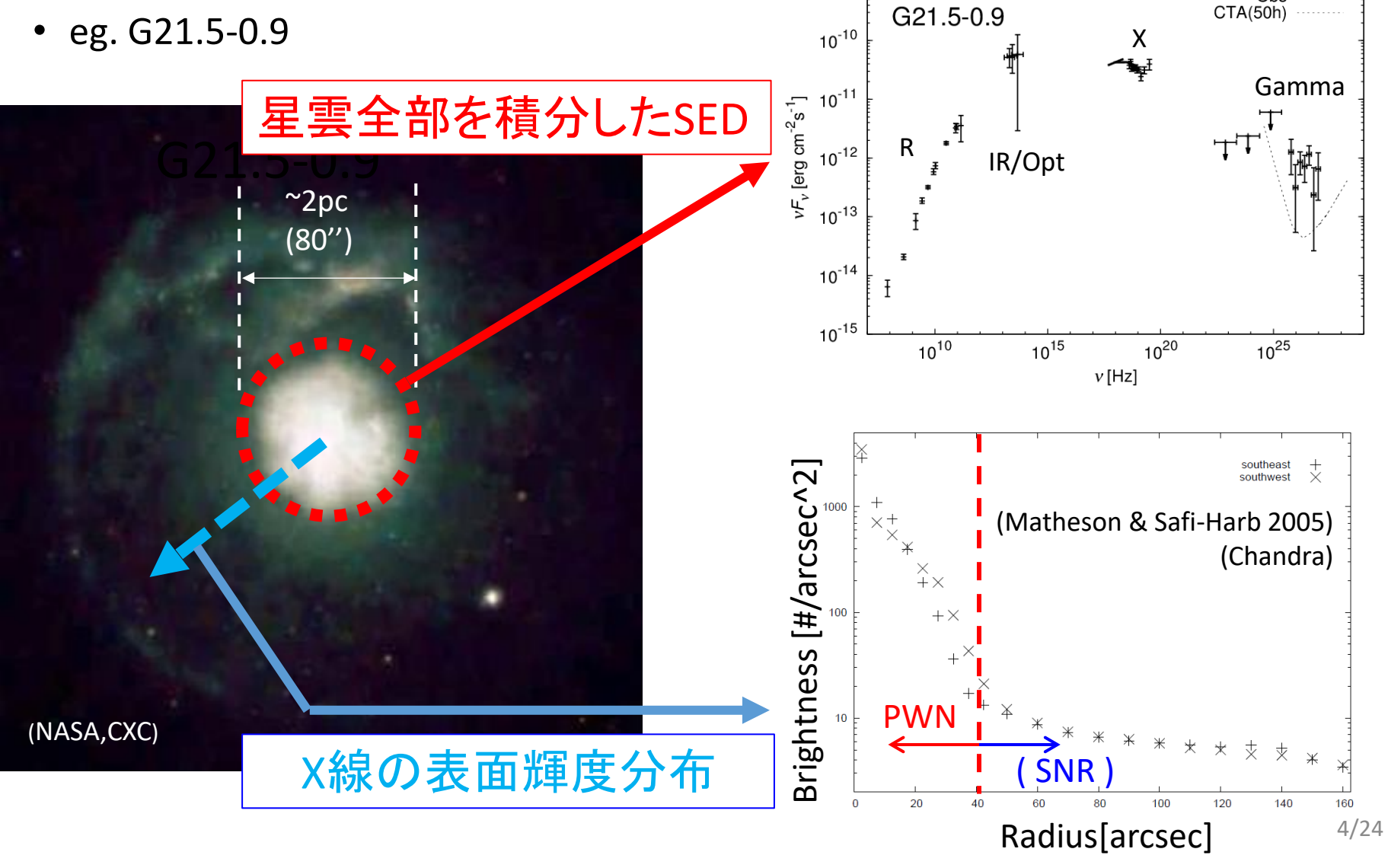


(X: NASA, radio: NCSU) G21.5-0.9



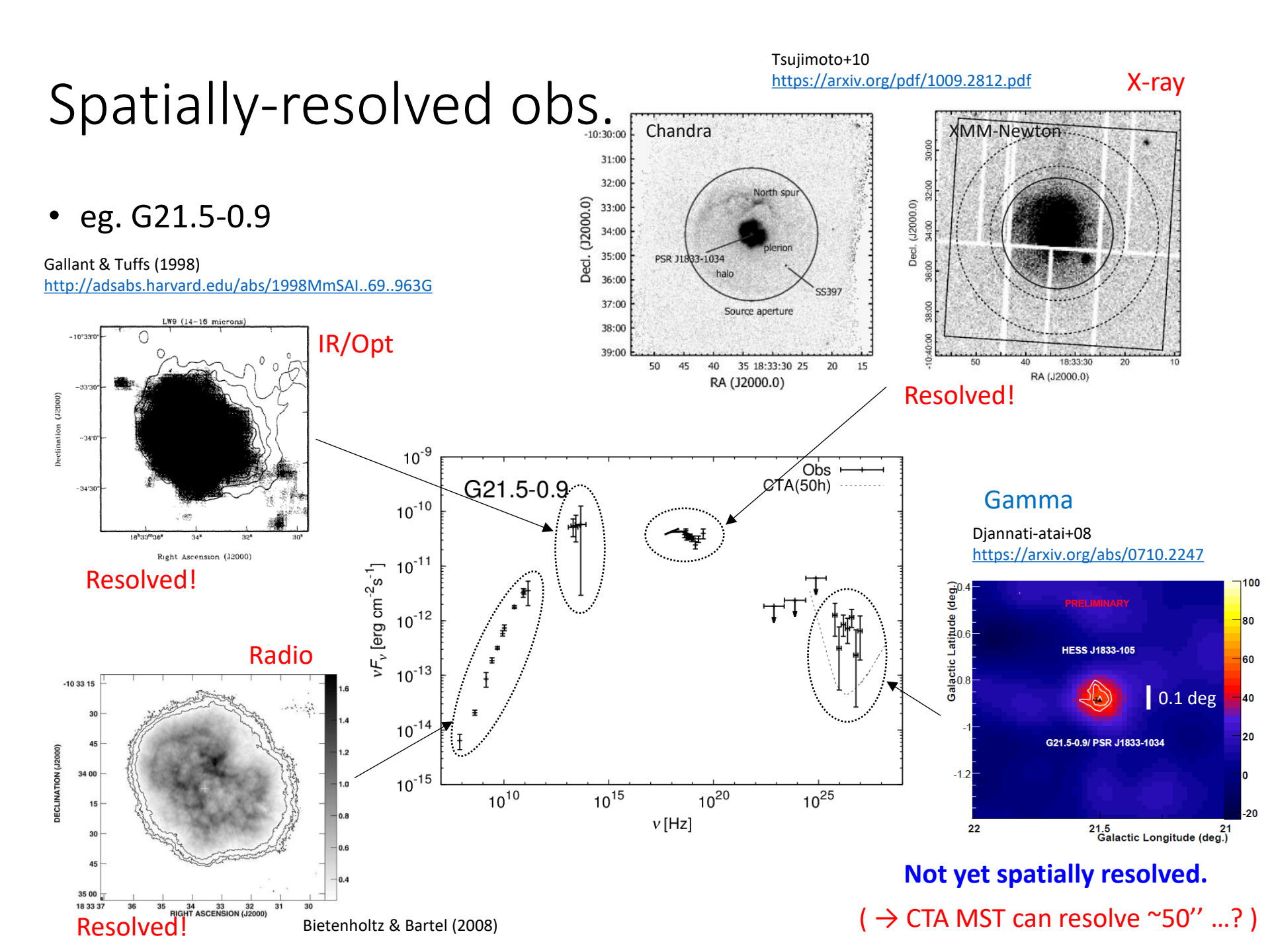
説明したい観測量

eg. G21.5-0.9

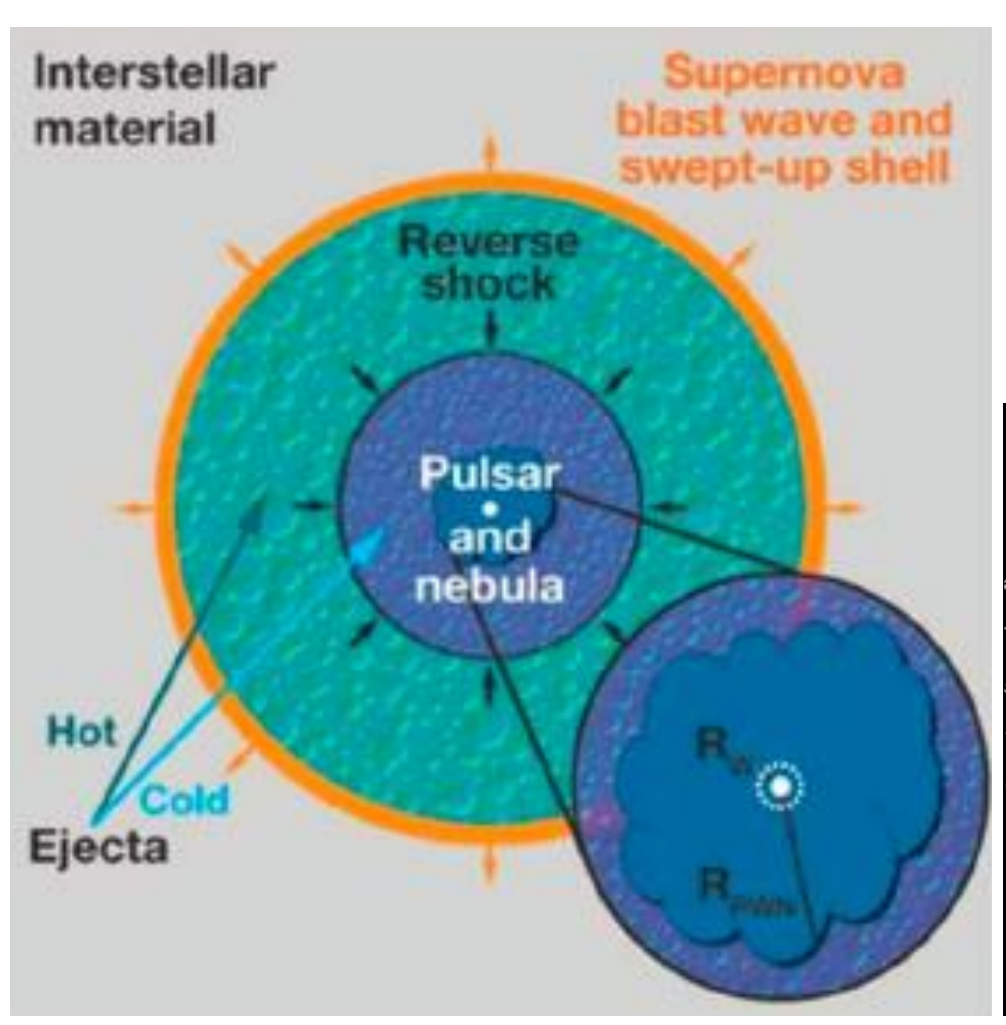


10⁻⁹

Obs CTA(50h)

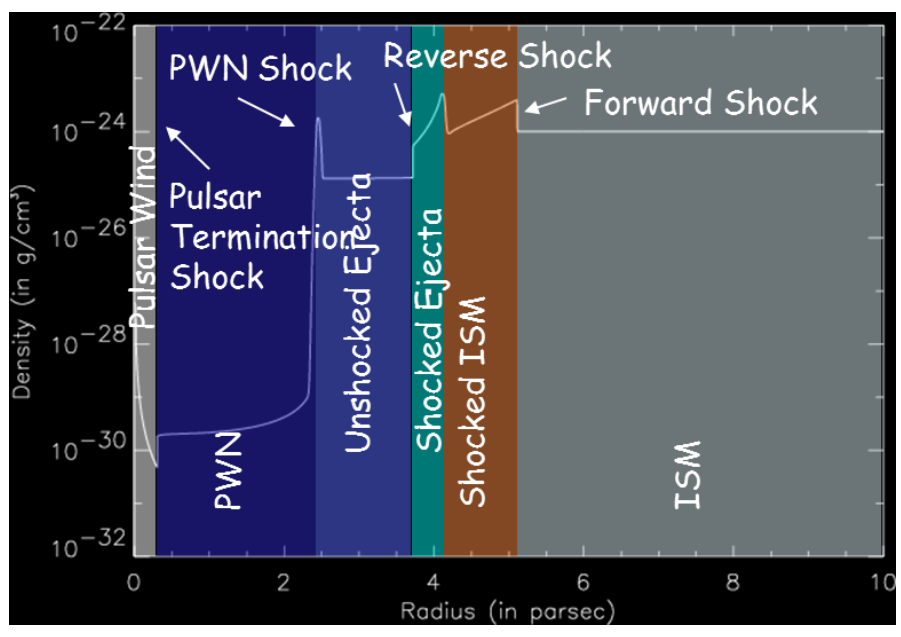


パルサー星雲の標準的描像



パルサー星雲は超新星残骸に包まれている"二重爆風構造"

- 1. PWN vs. SN ejecta ⇔ PWN
- 2. SN ejecta vs. ISM ⇔ SNR

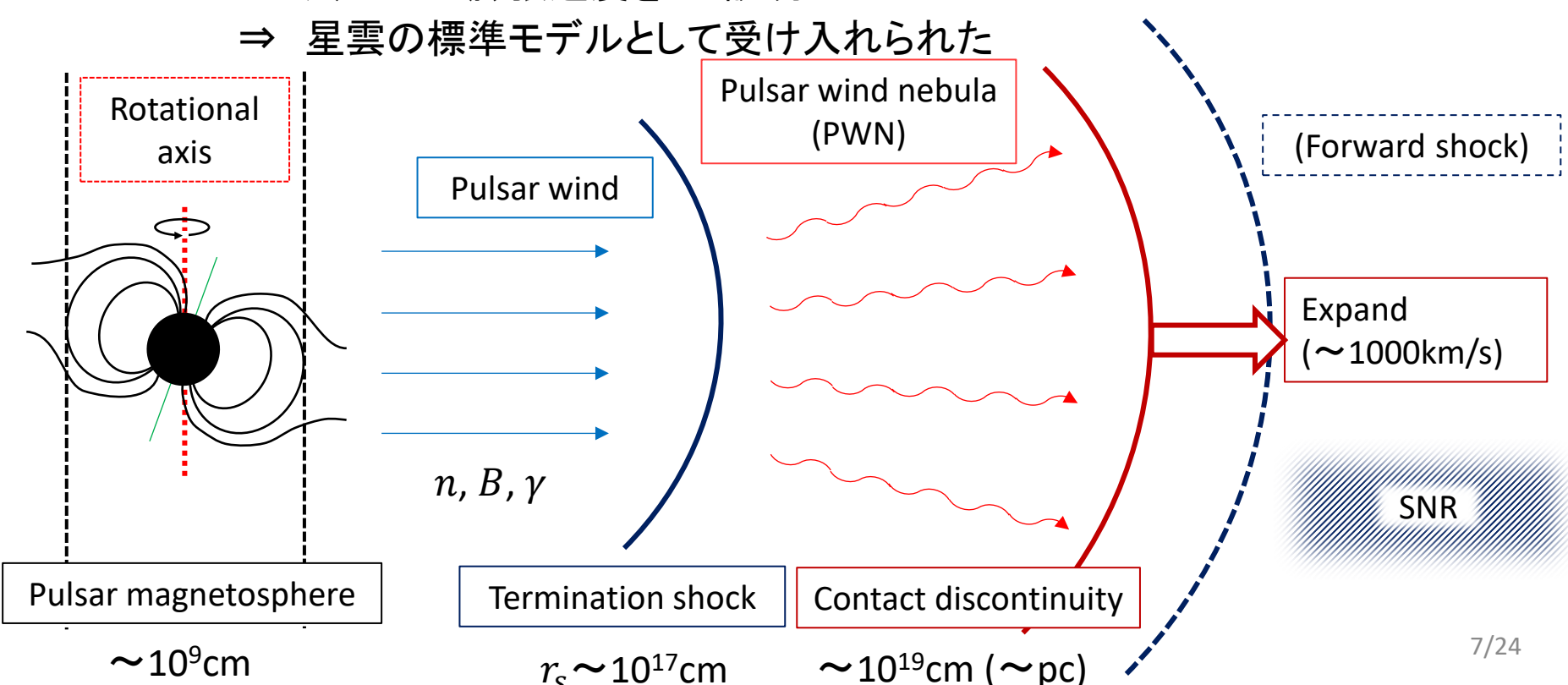


Gaensler & Slane (2006)

From Slane's slide (Heisenberg, 2008)

パルサー星雲の標準的描像

- 一次元定常モデル Rees & Gunn (1974), Kennel & Coroniti (1984)
 - 終端衝撃波での粒子加速を仮定
 - 加速粒子は放射冷却しながら流体とともに移流する
 - 粒子のエネルギー・空間分布を計算 かに星雲のSED・膨張速度をよく説明



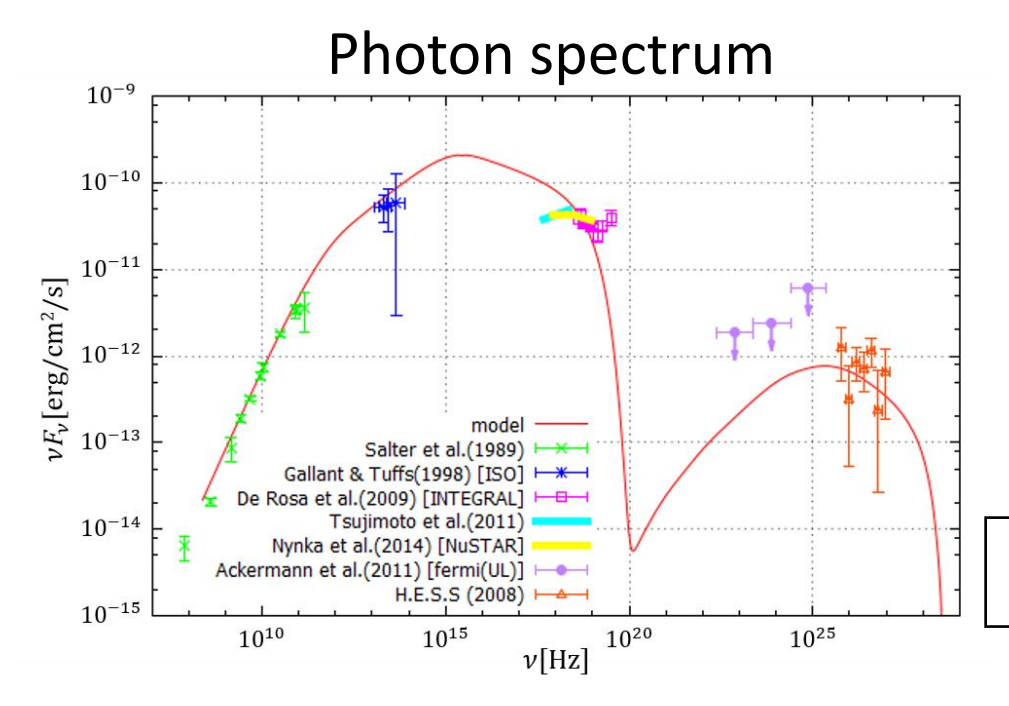
Blue: X-rays

Red: Opt

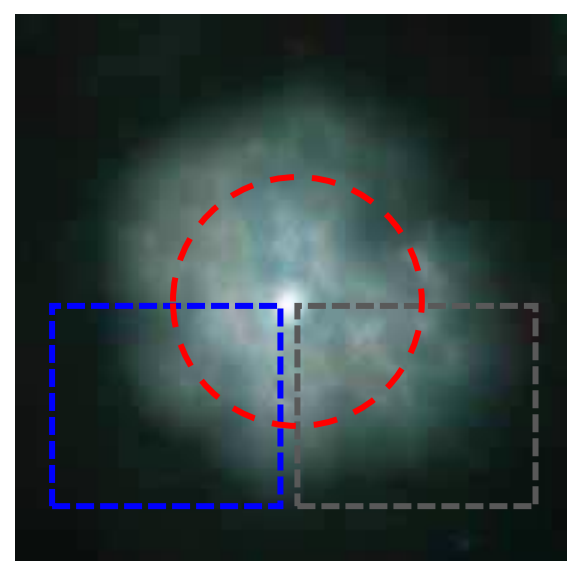
Composite

1D steady model-

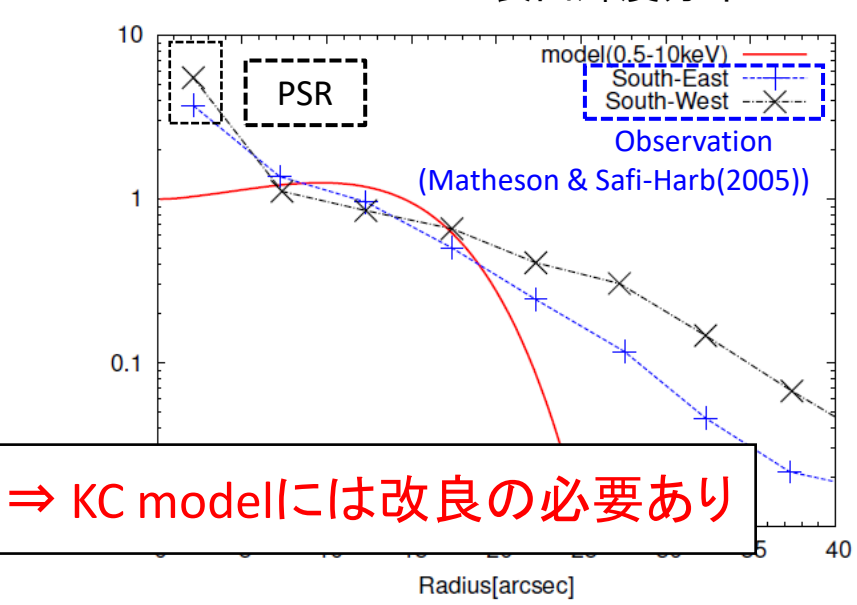
- KC modelの問題
 - KCモデルは、3C 58やG21.5-0.9といった他のパルサー星雲のX線の表面輝度分布を説明しない(Ishizaki+17)
 - SEDを説明するために必要な磁場強度のもとでは、星雲の外縁部に到達する前に 冷却でエネルギーを失ってしまう

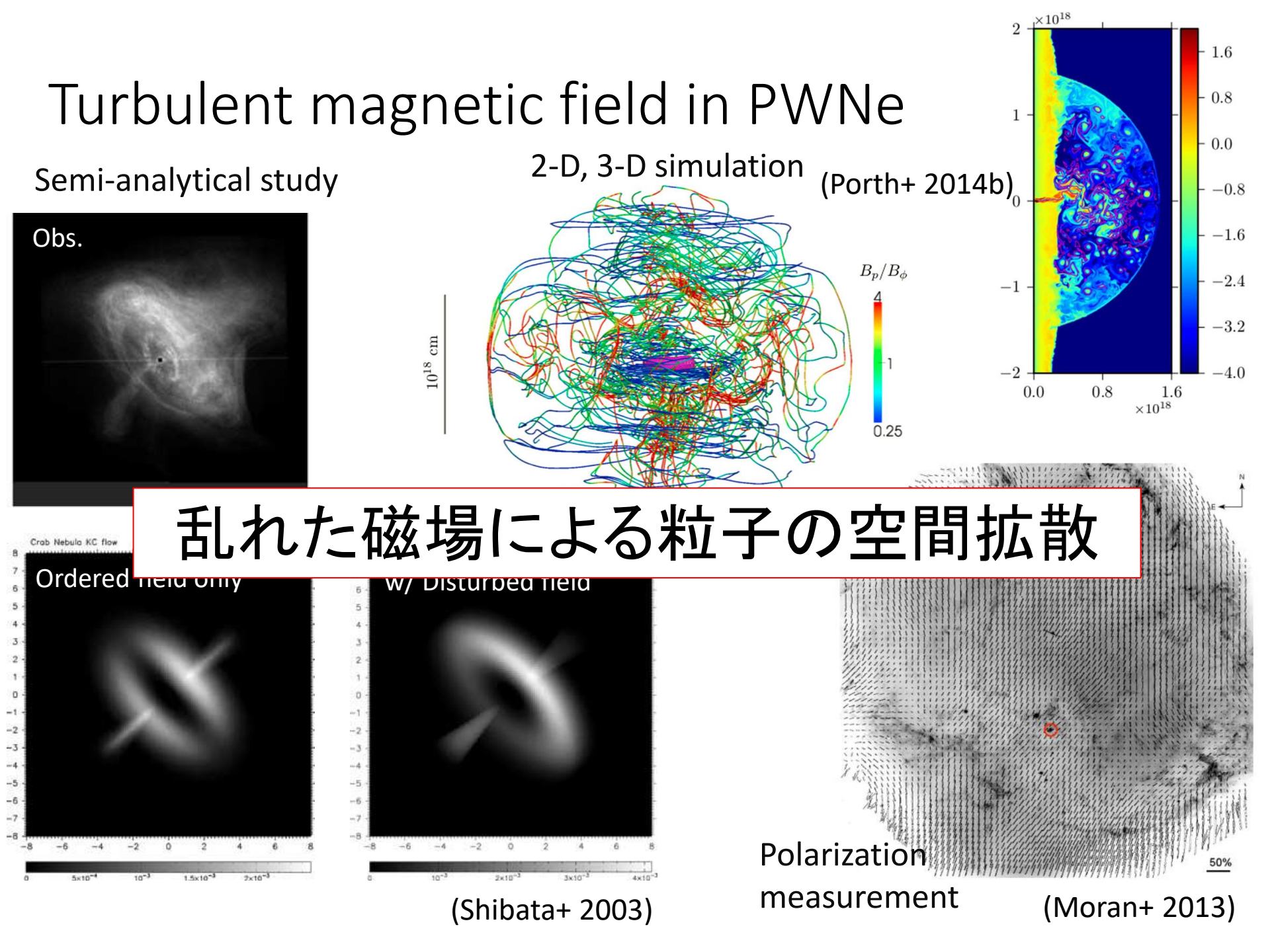






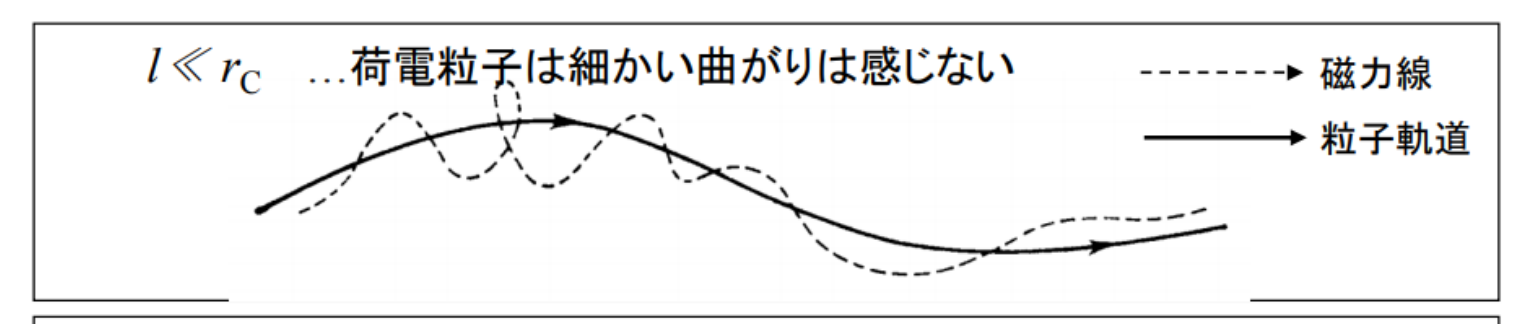
0.5-2.0 keVの表面輝度分布





Appendix –Resonant Scattering of Particles by Waves-

 $r_{\mathbb{C}}$ (サイクロトロン半径) \longleftrightarrow 磁場の乱れ(=アルフェン波、ホイスラー波)の特徴的な波長 l



 $l\gg r_{
m C}$...荷電粒子は磁力線の曲がりに沿って運動



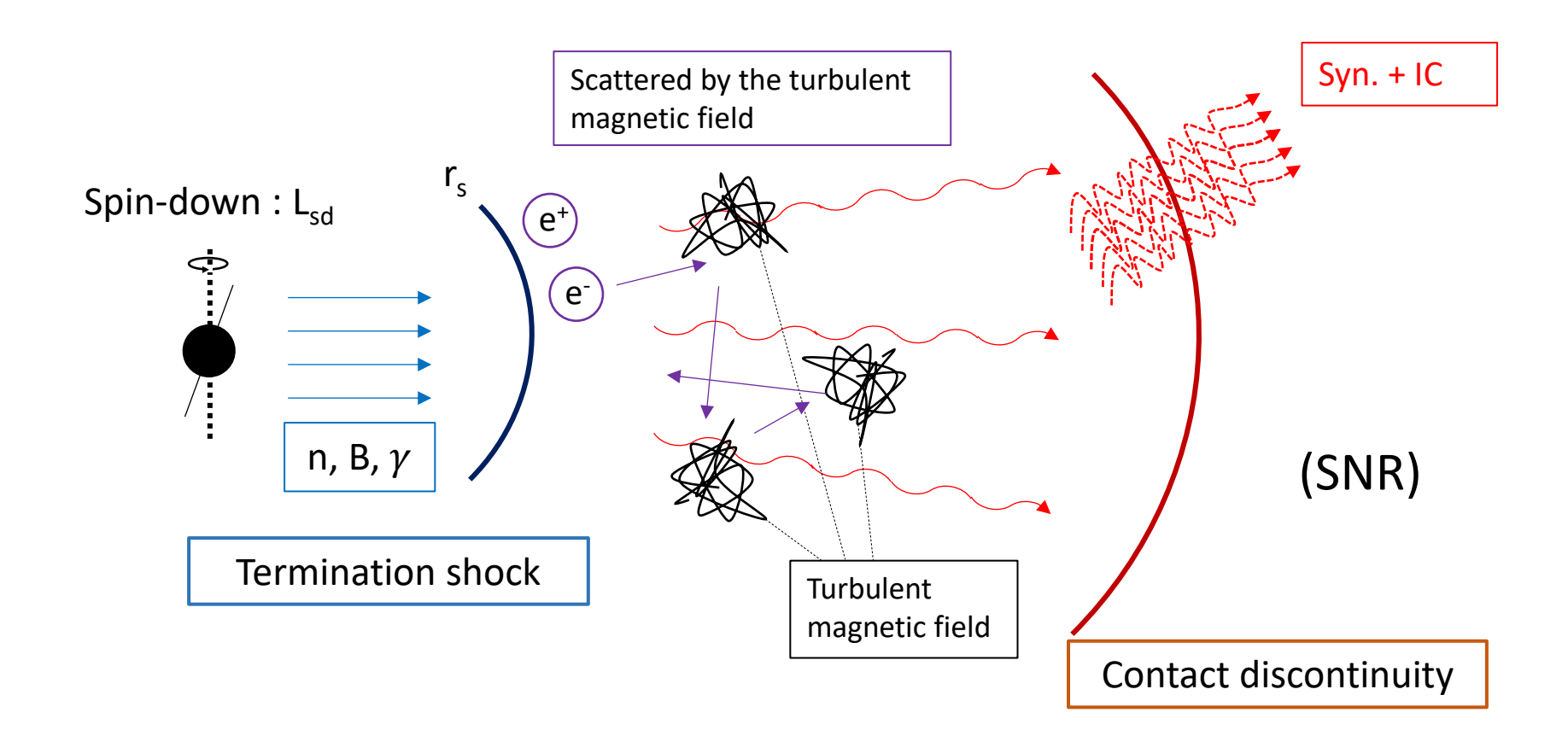
 $l \sim r_{\rm C}$...荷電粒子は磁力線の曲がりによって散乱される

サイクロトロン共鳴条件

Diffusion model of PWNe

$$\frac{1}{r^2}\frac{\partial}{\partial r}\left[r^2\left(u(r)f - \kappa\frac{\partial f}{\partial r}\right)\right] - \frac{\partial}{\partial E}\left[\left\langle \dot{E}\right\rangle n\right] = 0$$

- 空間拡散を考慮したパルサー星雲モデル
 - ・ 大局的な構造として、半径方向の流れ+紙面平行方向の磁場
 - 加えて、乱れた磁場成分が存在すると考える
 - 衝撃波で加速された電子・陽電子は流体上をランダムウォーク



Order estimate (the case of G21.5-0.9)

2 keVのX線を出す電子のエネルギー:

$$E_{\rm X} \sim 3.9 \times 10^{13} \text{ eV} \left(\frac{B}{100 \ \mu \text{G}}\right)^{-1/2} \left(\frac{\nu_{\rm X}}{2 \text{ keV}}\right)^{1/2}$$

そういう人たちの(放射冷却での)寿命:

$$t_{\rm cool,X} \sim 310 \ {\rm yr} \left(\frac{B}{100 \ \mu {\rm G}}\right)^{-3/2} \left(\frac{\nu_{\rm X}}{2 \ {\rm keV}}\right)^{-1/2}$$

エネルギー依存性のない拡 散係数の場合(e.g., Porth+16, Lu+17)

拡散で星雲の縁r、まで届きなさいって条件:

$$\kappa \sim \frac{r_{\rm N}^2}{t_{\rm cool,X}} \sim 7.9 \times 10^{26} \text{ cm}^2 \text{ s}^{-1} \left(\frac{r_{\rm N}}{0.9 \text{ pc}}\right)^2 \left(\frac{B}{100 \mu \text{G}}\right)^{3/2} \left(\frac{\nu_{\rm X}}{2 \text{ keV}}\right)^{1/2}$$

流体の持つエネルギーフラックスと拡散流束の持つフラックスが等しくなる半径:

$$r_{\rm pe} \sim \frac{r_{\rm s}^2 v_{\rm d}}{\kappa} \sim \underline{0.1 \ \rm pc} \left(\frac{r_{\rm s}}{0.05 \ \rm pc}\right)^{-2} \left(\frac{r_{\rm N}}{0.9 \ \rm pc}\right)^{-2} \left(\frac{B}{100 \ \mu \rm G}\right)^{-3/2} \left(\frac{\nu_{\rm X}}{2 \ \rm keV}\right)^{-1/2} < \Gamma_{\rm N}$$

パラメータによっては、拡散過程が流体に及ぼす影響を無視できない!

拡散過程が流体運動に及ぼす反作用を考慮した定式化が必要!

Method – iterative method -

定常と球対称性を仮定する

 \rightarrow 1D(radial)+1D(energy) eqs.

Fokker-Planck equation

$$\frac{1}{r^2} \frac{\partial}{\partial r} \left[r^2 \left(cu(r) n - \kappa \frac{\partial n}{\partial r} \right) \right] - \frac{\partial}{\partial E} \left[\left\langle \dot{E} \right\rangle n \right] = 0$$

$$\left\langle \dot{E} \right\rangle_{\rm syn} \equiv \frac{4}{3} \sigma_{\rm T} c \left(\frac{E}{mc^2} \right)^2 U_{B_1}$$

$$\left\langle \dot{E} \right\rangle_{\rm ad} \equiv \frac{p}{3} \frac{c}{r^2} \frac{\partial}{\partial r} \left(r^2 u(r) \right)$$

$$\frac{dn}{dE} \to \delta$$
, Q



Update u(r)

Fluid equations

Effect of diffusion

$$\frac{1}{r^2} \frac{\partial}{\partial r} \left[r^2 \left(\gamma^2 \left(\epsilon + p \right) \beta + \frac{(\boldsymbol{E} \times \boldsymbol{B})_r}{4\pi} \right] - \frac{\partial}{\partial r} \left\{ \left(\frac{4}{3} \gamma^2 \beta^2 + 1 \right) \delta(r) \right\} \right) \right] = -\gamma Q(r)$$

$$\frac{1}{r^2} \frac{\partial}{\partial r} \left[r^2 \left(\gamma^2 \left(\epsilon + p \right) \beta^2 + p + \frac{E^2 + B^2}{8\pi} \middle| - \frac{\partial}{\partial r} \left\{ \frac{4}{3} \gamma^2 \beta \delta(r) \right\} \right) \right] = \frac{2p}{r} - \gamma \beta Q(r)$$

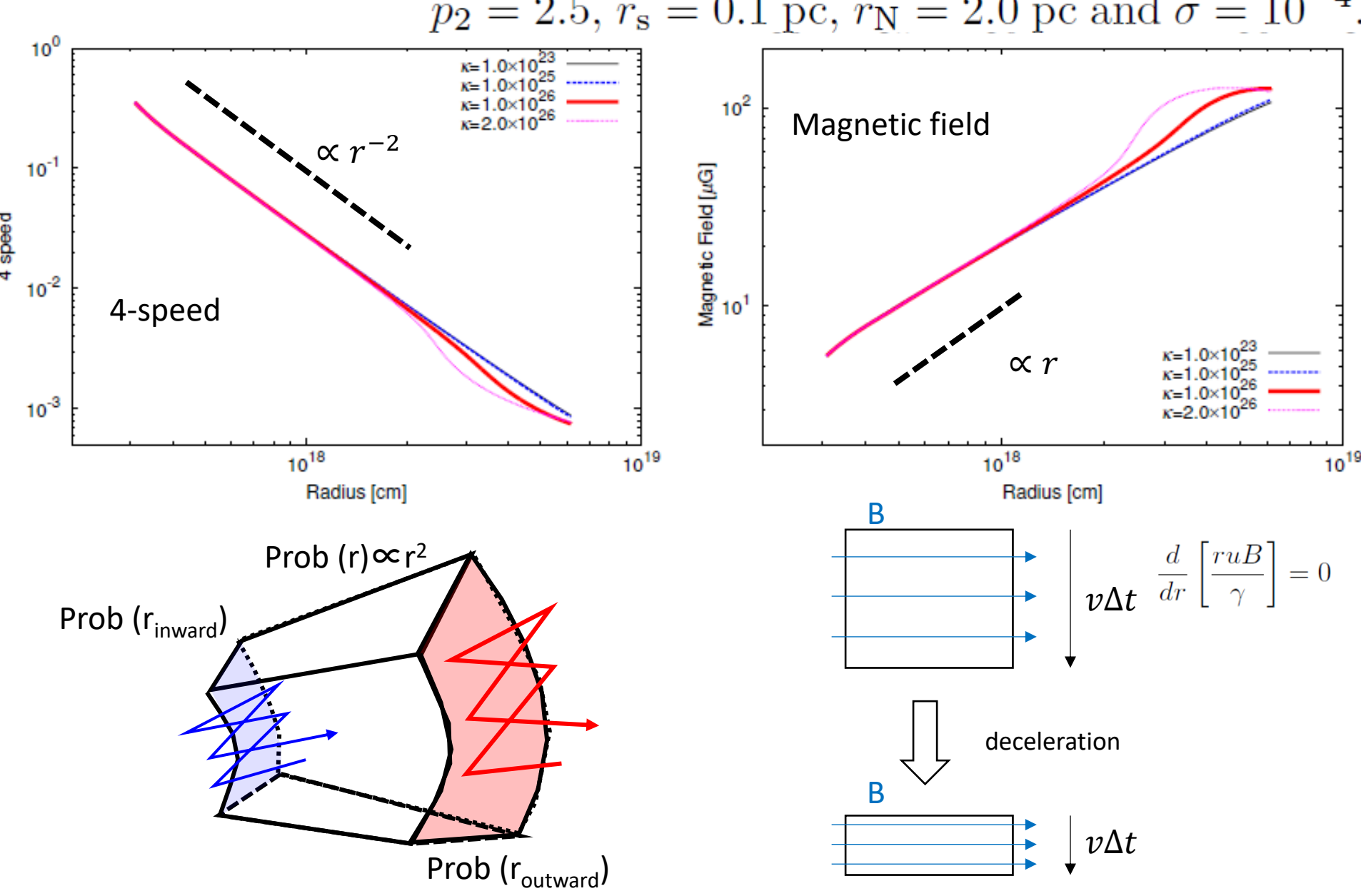
$$r\beta B = {
m const}$$

$$\epsilon(r) \equiv \int E' \left(\frac{dn}{dE}\right)' dE' \qquad \delta(r) \equiv \frac{1}{c} \int \kappa E' \left(\frac{dn}{dE}\right)' dE' \qquad Q(r) \equiv \frac{1}{c} \int Q'_{
m rad} \left(\frac{dn}{dE}\right)' dE'$$

13/24

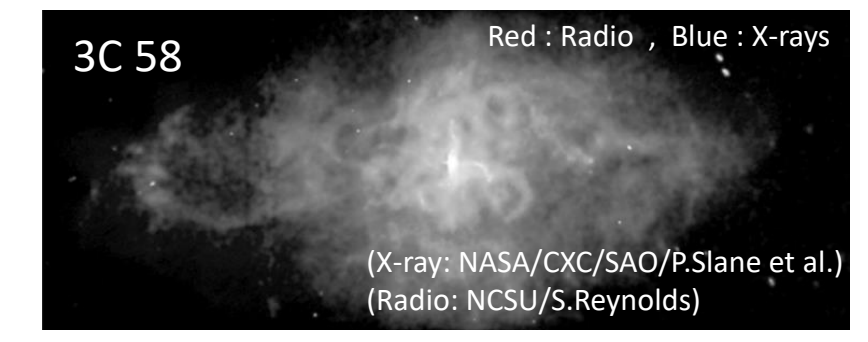
Test Calculation to investigate a dependence on the diffusion coefficient

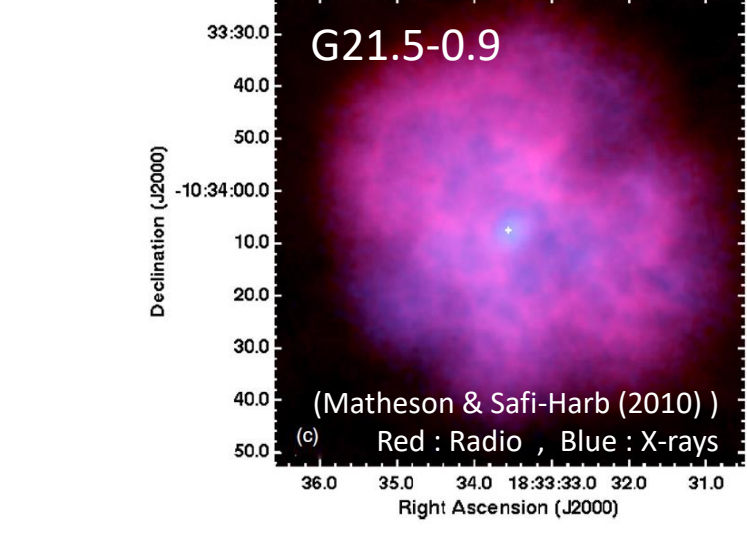
 $L_{\rm sd} = 10^{38} \,\mathrm{erg \, s^{-1}}, E_{\rm b} = 10^5 m_{\rm e} c^2, p_1 = 1.1,$ $p_2 = 2.5, r_{\rm s} = 0.1 \,\mathrm{pc}, r_{\rm N} = 2.0 \,\mathrm{pc} \,\mathrm{and} \,\sigma = 10^{-4}.$

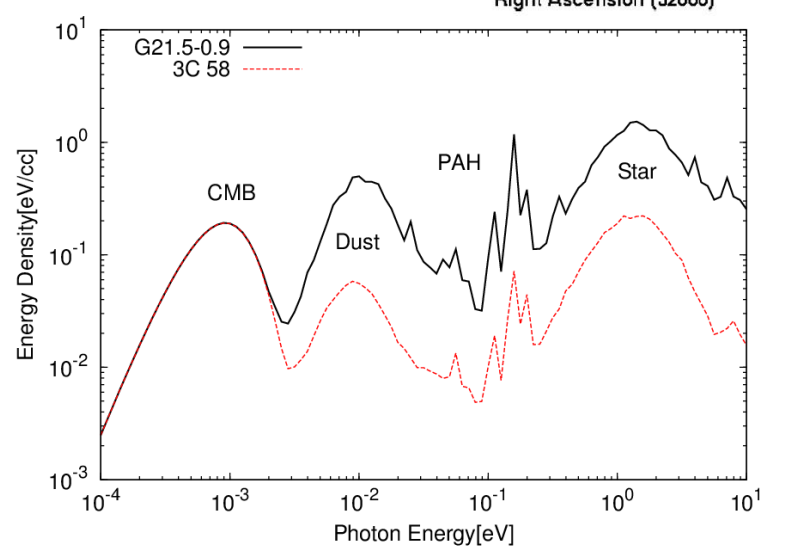


Target

- 選定理由
 - 様々な周波数帯での観測がある
 - X線の放射領域が大きく拡がっている
- G21.5-0.9
 - 見かけの大きさ: 40"
 - 距離: D=4.8kpc (Tian & Leahy 2008) → 星雲のサイズ: $r_{\rm N}=0.9$ pc
 - 中心パルサー: PSR J1833-1034
 - P=61.9ms, $\dot{P} = 2.02 \times 10^{-13} ss^{-1}$ $\rightarrow L_{sd} = 3.3 \times 10^{37} [erg/s]$
- 3C 58
 - Angular size : $5' \times 9'$
 - Distance : D=2.0kpc (Kothes et al.,2013) \rightarrow Nebula radius : $r_{\rm N} = 2.0$ pc
 - Central pulsar: PSR J0205+6449
 - P=65.7ms , $\dot{P} = 1.94 \times 10^{-13} ss^{-1}$ $\Rightarrow L_{sd} = 2.7 \times 10^{37} [\text{erg/s}]$







Setup

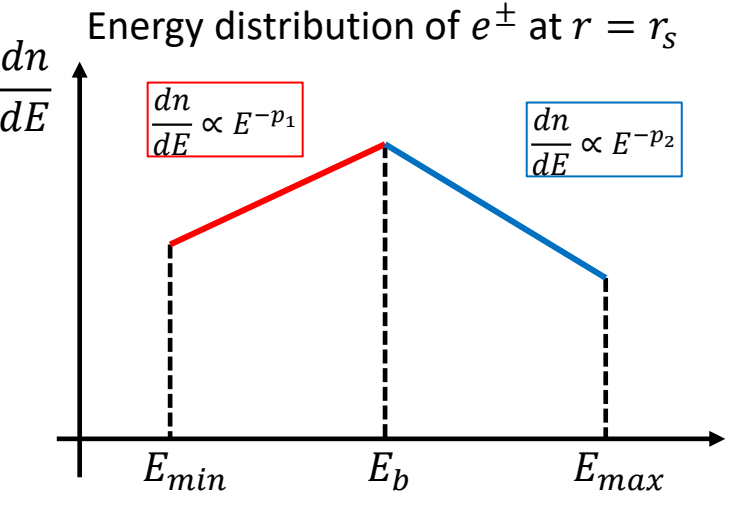
r=r_s

- 境界条件
 - 流体方程式:
 - @termination shock
 Rankine-Hugoniot condition
 - @edge of a nebula
 Free escape boundary
 - Fokker-Planck方程式:
 - @termination shock

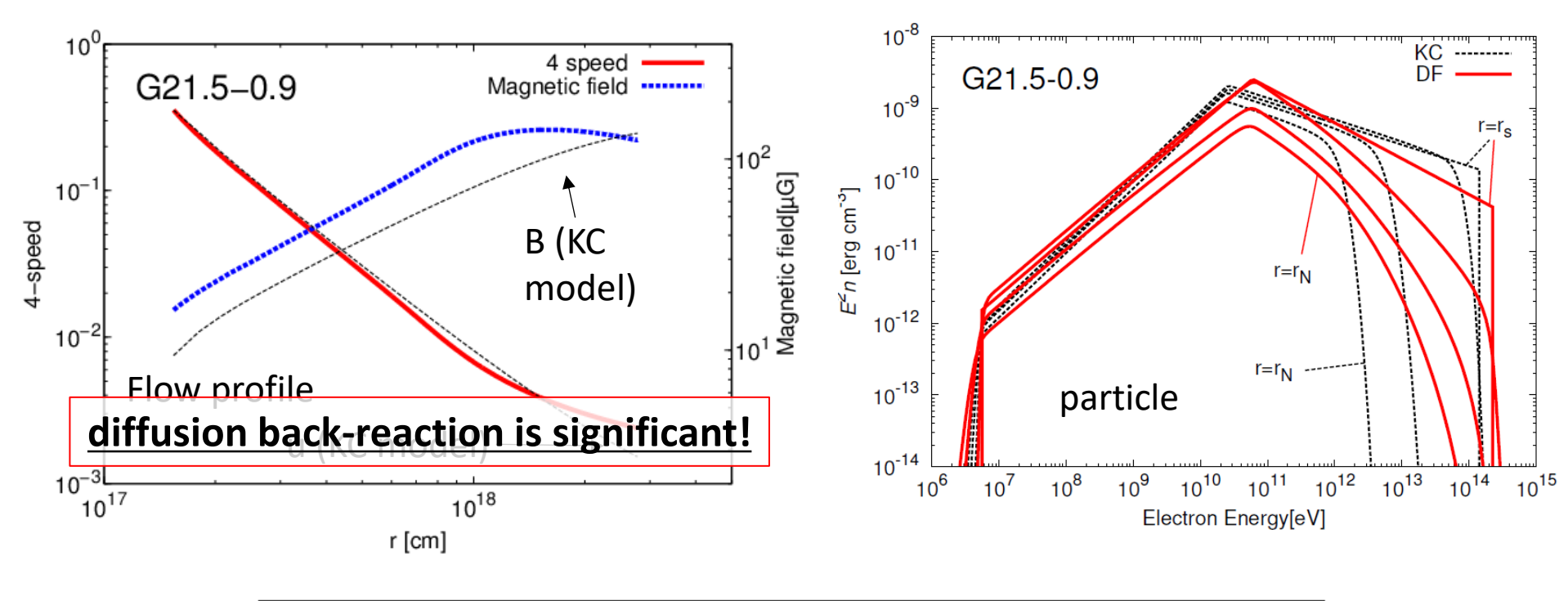
$$n(E', r_{\rm s}) = \begin{cases} \frac{n_0}{E_{\rm b}} \left(\frac{E'}{E_{\rm b}}\right)^{-p_1} (E_{\rm min} < E' < E_{\rm b}) \\ \frac{n_0}{E_{\rm b}} \left(\frac{E'}{E_{\rm b}}\right)^{-p_2} (E_{\rm b} < E' < E_{\rm max}) \end{cases}$$

- @edge of a nebula
 Free escape boundary
- 拡散係数

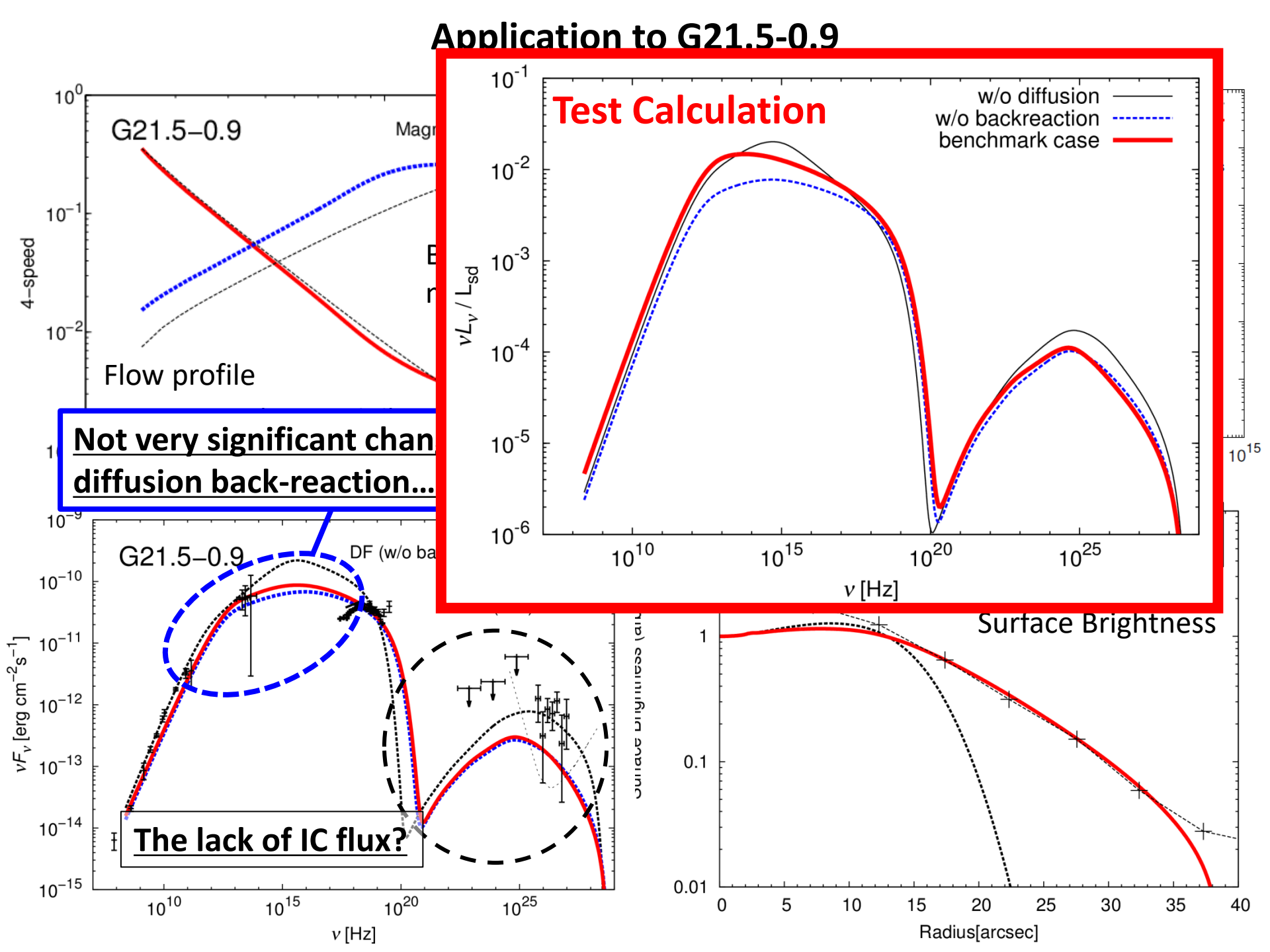
$$ilde{\kappa} = \kappa_0 \left(rac{E}{E_b}
ight)^{1/3}$$
 Mimicking the interaction with the kolmogrov-like turbulence



Application to G21.5-0.9



		G21.5-0.9	
Given Parameters	Symbol	KC^{a}	DF
Spin-down Luminosity (erg s ⁻¹)	$L_{ m sd}$	3.5×10^{37}	
Distance (kpc)	D	4.8^{c}	
Radius of the nebula (pc)	$r_{ m N}$	0.9	
Fitting Parameters			
Break Energy (eV)	$E_{ m b}$	2.6×10^{10}	6.0×10^{10}
Low-energy power-law index	p_1	1.1	1.2
High-energy power-law index	p_2	2.3	2.5
Radius of the termination shock (pc)	$r_{ m s}$	0.05	0.05
Magnetization parameter	σ	2.0×10^{-4}	6.0×10^{-4}
Diffusion coefficient at $E_{\rm b}~({\rm cm^2~s^{-1}})$	κ_0	-	1.0×10^{26}



Escaped particles...?

 $10^{32} \, erg/s$

 \rightarrow ~10¹⁴ erg/s/cm² (for G21.5-0.9)

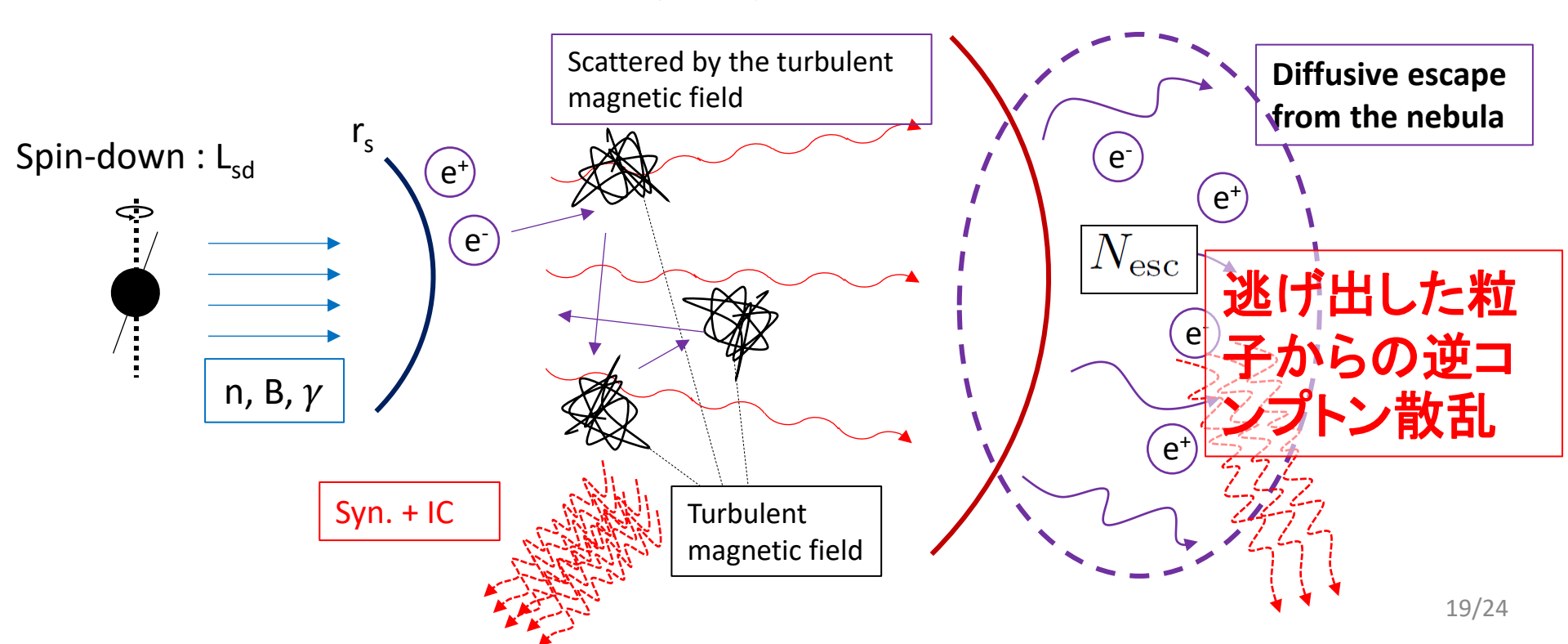
 $e^{\pm}+\gamma(CMB)$

- 星雲外に逃げ出した粒子の寄与
 - 効率的にr_Nまで到達した粒子が星雲外に拡散していくと考える

 10^{43} $N_{\rm esc} \sim 4\pi r_{\rm N}^2 (\kappa(E_{\rm VHE})/r_{\rm N}) E_{\rm VHE} n(r_{\rm N}, E_{\rm VHE}) t_{\rm adv} \sim$

$$r_{\rm N} + \sqrt{\kappa t_{\rm adv}} \sim 2 \text{ pc } (90'')$$

(For G21.5-0.9)



まとめ

- 粒子の空間拡散と移流を記述するFokker-Planck方程式と、拡散過程の反作 用まで考慮した磁気流体力学を、self-consistentに解く手法を新たに開発した。
- 実際に、その手法を用いて1次元定常系の計算を具体的に行い、拡散過程に よって流体が減速するという現象を見出した。
- さらに、これを実際の天体3C 58, G21.5-0.9に適用し、それぞれの天体について、SEDとX線のSurface brightnessを同時に再現することに成功した。
- ・以上の二天体においては、拡散過程の流体運動への反作用は、SEDにほとん ど影響を与えない。
- G21.5-0.9においては、電子・陽電子の星間空間への逃げ出しを考えることで、 SEDのfitであまりうまく合わせられなかったγ線のフラックスを説明できる可能 性を示唆した。